

技術報告

UDC 621.039.52 : 669.018.44 : 620.193.5 : 661.939.1

超合金の不純物を含むヘリウム中での酸化について*

榎原 瑞夫**・番野 郁男**・関野 昌蔵**

Oxidation of Superalloys in Impure Helium

Mizuo SAKAKIBARA, Ikuo BANNO, and Shozo SEKINO

Synopsis:

An investigation was made to clarify the corrosion of several superalloys in impure helium. The corrosion in helium was more severe than in air. This corrosion was due to the insufficiency in supply of oxidizing species to form a continuous protective scale. For this reason, the severe corrosion occurred with the formation of Cr-denuded zone and with internal oxidation.

This oxidation could be reduced by the surface treatment, such as calorizing and pre-oxidizing in air to form a protective film on the surface.

(Received Jan. 14, 1974)

1. 緒 言

世界的にエネルギー危機がさけばれている今日、公害のないきれいで膨大な新エネルギーの出現が期待されている。このエネルギーとして石炭ガス化および水素の利用を考えられている。しかし、石炭をガス化するにしても、水素を水から分離するにしても一次エネルギーが必要である。この一次エネルギーとして原子力発電、とくにエネルギー効率の高い高温ガス炉、さらに原子力エネルギーの直接利用が期待されている。すでにGGA社で高温ガス炉が商用化されており前途は明るい。熱エネルギーを電力の中介なしに直接各プロセスに使おうとすれば、ガス温度としては1000°Cがほしい。しかし1000°C以上の超高温ガスを経済的に安全に使うにはまず耐熱材料の開発が要請される。とくに高温ガス炉で用いられる材料は微量の不純物を含むヘリウム雰囲気中にさらされるため、腐食が問題になる¹⁾。ヘリウム中の腐食については国内外でのデーターも少ないとから不明な点が多い。そこで1000°Cの不純ヘリウム中の腐食について検討した。

2. 実験方法

高温用材料として代表的な9種の超合金を用いて不純物を含むヘリウム中で腐食試験をおこなつた。供試材の化学成分をTable 1に示す。AはIncoloy 800, BはInconel 600, CはHastelloy C, DはHastelloy X,

EはInconel 617, FはIN 519, GはIncoloy 807, HはInconel 625, IはAstroloy相当の合金である。A, B, E, G, H, IはAl, Tiを含有する合金。C, D, E, H, IはMoを含有する合金。E, IはCo含有量の高いもの、F, G, HはNbを含有する合金である。Eは1t容量のエルー式電弧炉で溶解後1tのエレクトロスラグ再溶解(断面350mmφ)したもの、そのほかは20kgの真空誘導炉で溶解した。A~Hは厚さ3mmに圧延後、Iは鋳造ままの状態で2×20×30mmの試験片を採取した。その後600#のエメリー研磨紙で全面研磨し、アルコール洗浄後乾燥した。腐食試験は研磨洗浄材と洗浄後800°C×2hr空気中で酸化させたもの(酸化による重量増はいずれの合金も0.07~0.075mg/cm²であった)およびカロライジング処理したもの(膜厚0.3mm)についておこなつた。

腐食試験に用いたヘリウムガスはTable 2に示す2種でA種は市販の99.99%純度のヘリウムガス、B種は高温ガス炉内条件の近似ガスである。また一部の合金はプロセスヒートとしての還元ガスを想定した65%H₂+35%COガスと35%H₂+65%COガス中で腐食させた。さらに比較のために静止空気中でも試験した。試験条件は大気圧下で試験片表面積に対して1.55cc/min/cm²の流速をもつ不純ヘリウム中、65%H₂+35%COおよび

* 昭和48年4月日本会講演大会にて発表

昭和49年1月14日受付

** 新日本製鐵(株)八幡製鐵所技術研究所

Table 1. Chemical composition of alloys.

Alloy	C	Si	Mn	Ni	Cr	Fe	Mo	Co	W	Al	Ti	Nb
A	0.03	0.36	0.71	32.5	22.5	42.5	—	—	—	0.46	0.43	—
B	0.03	0.33	0.19	75.7	16.8	7.2	—	—	—	0.43	0.36	—
C	0.10	0.72	0.79	57.7	15.6	6.0	16.1	—	4.0	—	—	—
D	0.09	0.54	0.50	48.0	22.2	17.8	9.1	1.4	0.6	—	—	—
E	0.06	0.44	0.01	54.3	21.5	0.13	10.2	11.7	—	0.99	0.36	—
F	0.29	1.06	0.79	23.5	23.4	50.0	—	—	—	—	—	1.5
G	0.07	0.50	0.80	45.0	20.0	23.0	0.2	3.0	5.0	0.45	0.50	1.0
H	0.05	0.30	0.15	62.1	22.0	3.0	9.0	—	—	0.20	0.20	4.0
I	0.06	0.04	0.01	55.2	14.9	0.25	5.9	16.5	—	4.65	3.60	—

Table 2. Impurity levels in helium (ppm).

NOTE	H ₂ O	H ₂	CO	CO ₂	CH ₄	N ₂
A	5.3	5.0	1.0	5.0	5.0	5.0
B	5.0	218.0	113.0	1.96	6.15	<1.0

35%H₂+65%CO 中で 1000°C で 500, 600hr 腐食させた。また一部の合金は 30 kg/cm² 圧下で 7.1cc/min/cm² の流速をもつB種ヘリウム中で 1000°C, 500hr 腐食させた。腐食試験中にいずれの場合もガスの分析は行なわなかつた。腐食試験後大気圧下の試験材は剥離した全スケールとともに、高圧下の試験材は剥離したスケールは回収できず、密着したスケールとともに重量を測定した。またいずれの場合も酸化面を走査電顕で観察し、その後切断して酸化層および内部酸化について顕微鏡観察、EPMA 分析により検討した。

3. 実験結果

Fig. 1 に A種ヘリウムガス中、空气中、65%CO+35%H₂ 中で 1000°C, 600hr 腐食した結果を示す。2~3 の合金を除くとヘリウム中および 65%CO+35%H₂ では空气中に比較し腐食されやすかつた。とくに合金Gはこの傾向が著しかつた。

Fig. 2 に大気圧および 30 kg/cm² 圧のB種ヘリウム中で 1000°C, 500hr 腐食させたときの内部酸化の深さを示す。内部酸化は EPMA 分析により検討した。内部酸化は 2~3 の合金を除くと高圧下で試験したほうが深かつた。

Fig. 3 に 600# 研磨材、800°C で 2 hr 予備酸化(酸化增量 0.07~0.075 mg/cm²) した試料および 0.3 mm 厚さのカロライジング処理した試料を 1 kg/cm² のA種ヘリウム中で 1000°C, 600hr 腐食させた結果を示す。合金D, E とくに E は 600# 研磨材に比較し、一度空气中で酸化させたもののほうが耐食性がすぐれていた。またいずれの合金でも表面にカロライジング処理することによって耐食性は向上した。このときの断面組織を Photo. 1

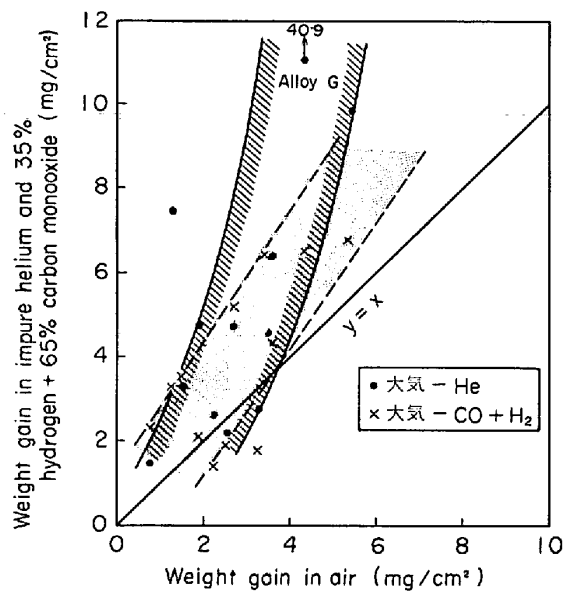


Fig. 1. Comparison of the weight gains exposed to 1 kg/cm² impure helium (A), 35% hydrogen-65% carbon monoxide and air for 600 hours at 1000°C.

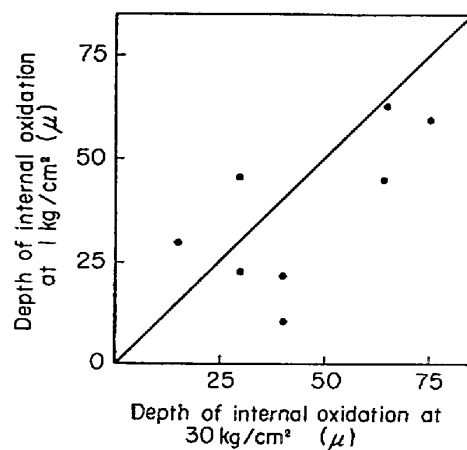


Fig. 2. Relation between the depths of internal oxidation exposed to 1 kg/cm² and 30 kg/cm² impure helium (B) for 500 hours at 1000°C.

に示す。600# 研磨材に比較し、表面処理することによって内部酸化がいちじるしく減少したことがわかる。

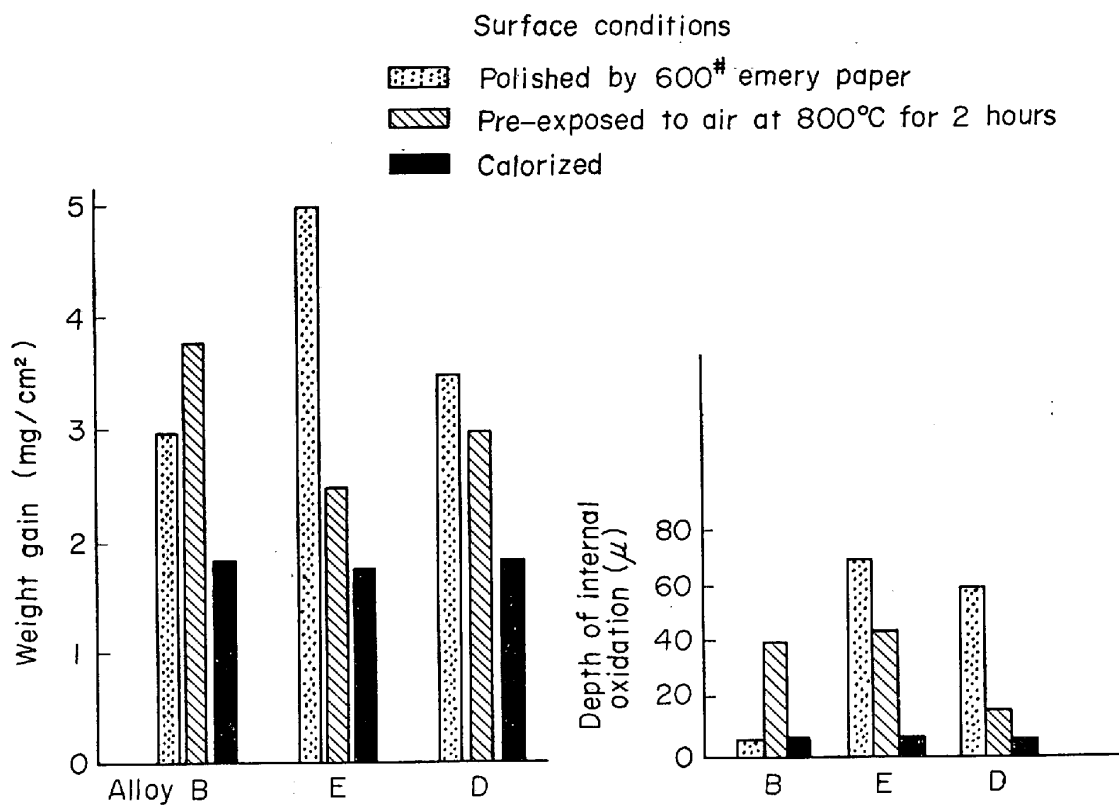


Fig. 3. Effect of the surface conditions on the weight gain and depth of internal oxidation exposed to 1 kg/cm² impure helium (A) for 600 hours at 1000°C.

Fig. 4 は各種雰囲気中で腐食させた B 合金の酸化層と地の境界面から地の方向に Cr 量の変化を示したものである。A 種ヘリウム中では地からの脱 Cr がおこりやすかつた。

Fig. 5 は A 種ヘリウム中で腐食させた各合金の脱 Cr の程度を示す。合金によって大きな差があることがわかる。脱 Cr と内部酸化深さは Fig. 6 に示すように比例関係にあり、内部酸化が深いほど脱 Cr がはげしい。この脱 Cr 域の深さと合金中の Cr, Ti, Al, Co, Nb につ

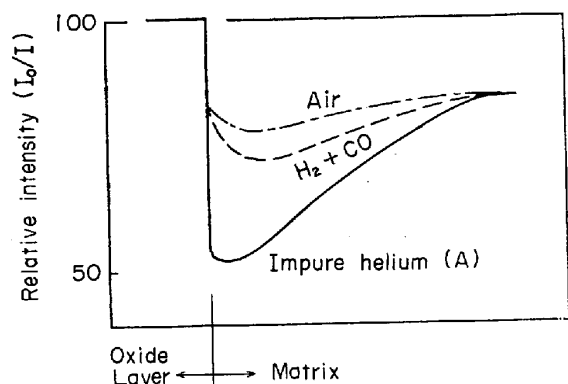


Fig. 4. Change of chromium content along depth direction in B alloy exposed to 1 kg/cm² various atmospheres at 1000°C for 600 hours.

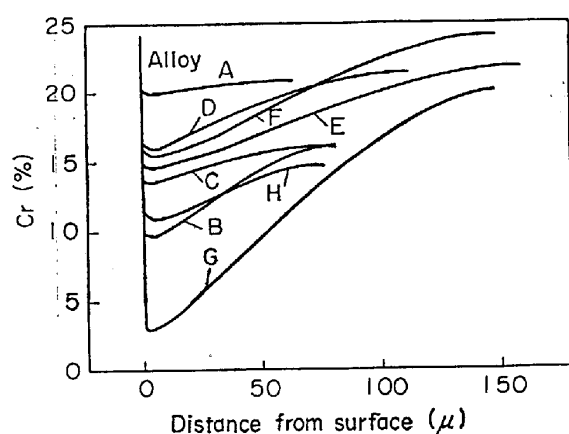


Fig. 5. change of chromium content along depth direction in various alloys exposed to 1 kg/cm² impure helium (A) atmosphere at 1000°C for 600 hours.

いて重回帰分析すると、脱 Cr 域の深さ $D(\mu)$ に対し、調べた合金の範囲内では Cr と Ti が有意で $D = 14 \cdot 8 + 4 \cdot 72Cr + 52 \cdot 5Ti$ で示された。ここで Cr, Ti はいずれも重量 % 表示である。

Fig. 7 は計算値と実測値の関係を示す。実測値と計算値はよく一致していることがわかる。すなわち調べた合金の範囲内では内部酸化深さは Cr と Ti で律せられて

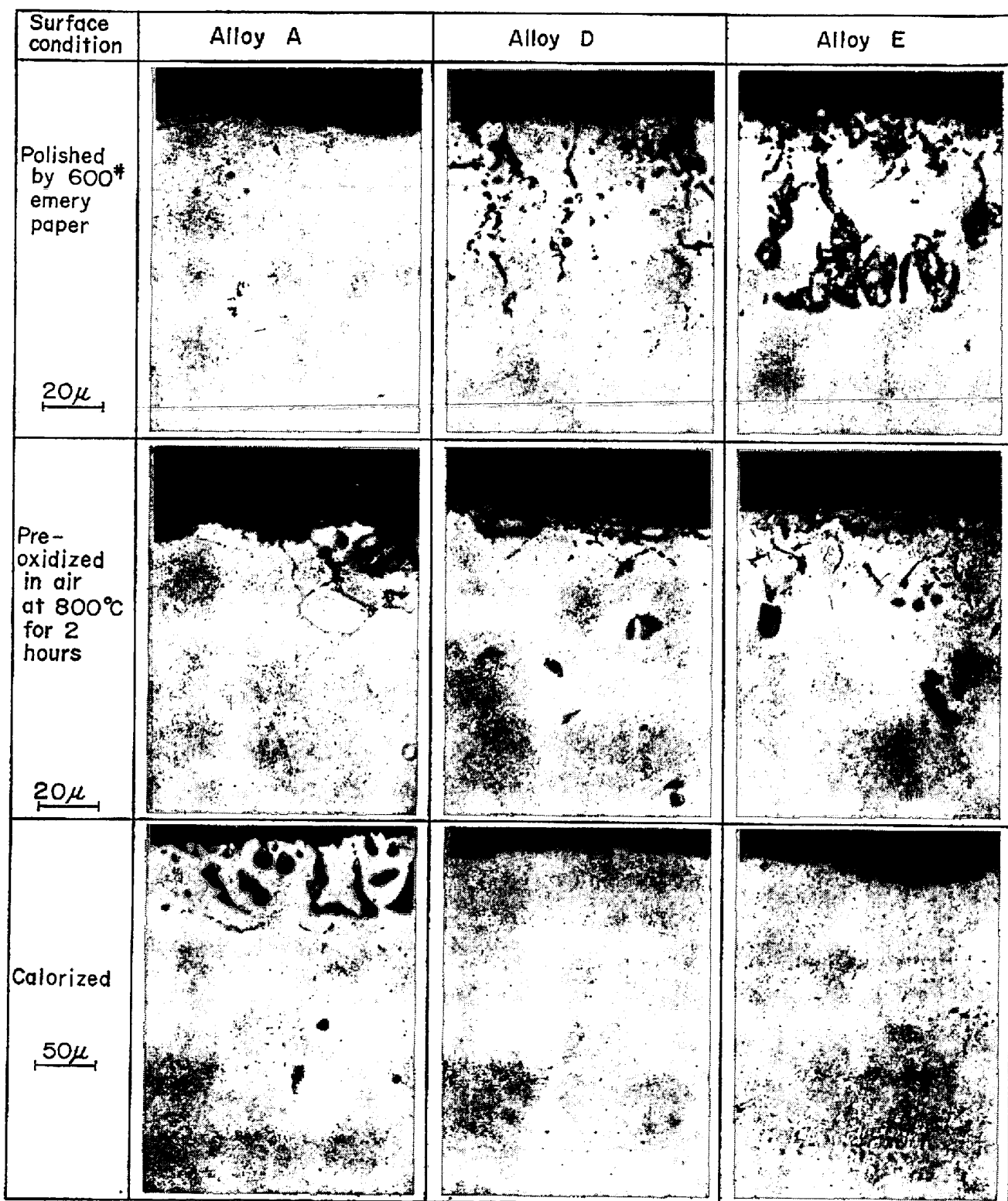


Photo. 1. Cross sectional view of the specimens of different surface conditions, oxidized in 1 kg/cm² impure helium (A) at 1000°C for 600 hours.

いることがわかつた。

Photo. 2 は酸化層表面の走査電顕像を示す。酸化の少ない合金Dは表面に大きく剝離したスケールが散在するが、地と密着したスケールはなめらかで緻密であつた。

一方腐食の激しい合金Gはスケール全体が地に密着していない。腐食が中程度の合金Eは合金D型とG型のスケールが混在している。

Photo. 3 は酸化層の EPMA 分析結果を示す。酸化層

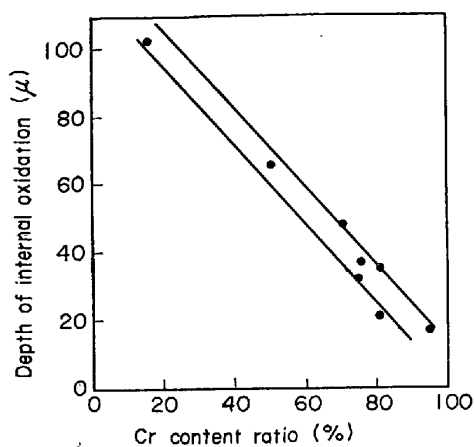


Fig. 6. Relation between the ratio of chromium content at surface to that in matrix and the depth of internal oxidation. The specimens were exposed to 1 kg/cm^2 impure helium (A) at 1000°C for 600 hours.

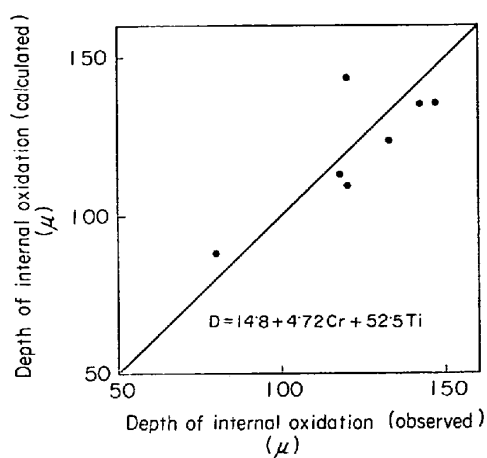


Fig. 7. Relation between the observed value and calculated value of the depth of internal oxidation exposed to 1 kg/cm^2 impure helium (A) for 600 hours at 1000°C .

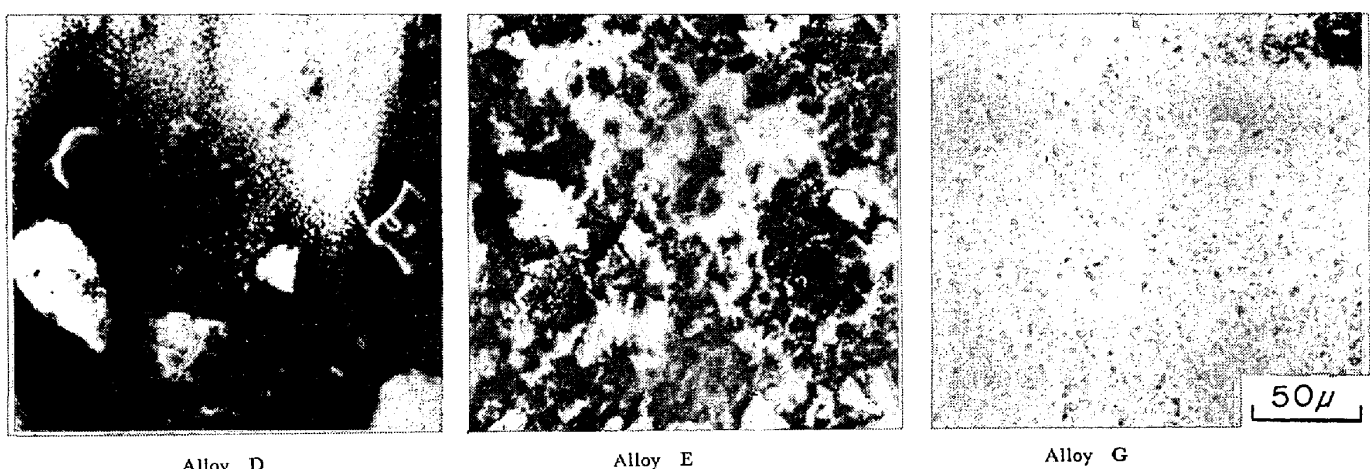


Photo. 2. Scanning electronmicrographs showing the scale surfaces. Specimens were exposed to 30 kg/cm^2 impure helium (B) at 1000°C for 500 hours.

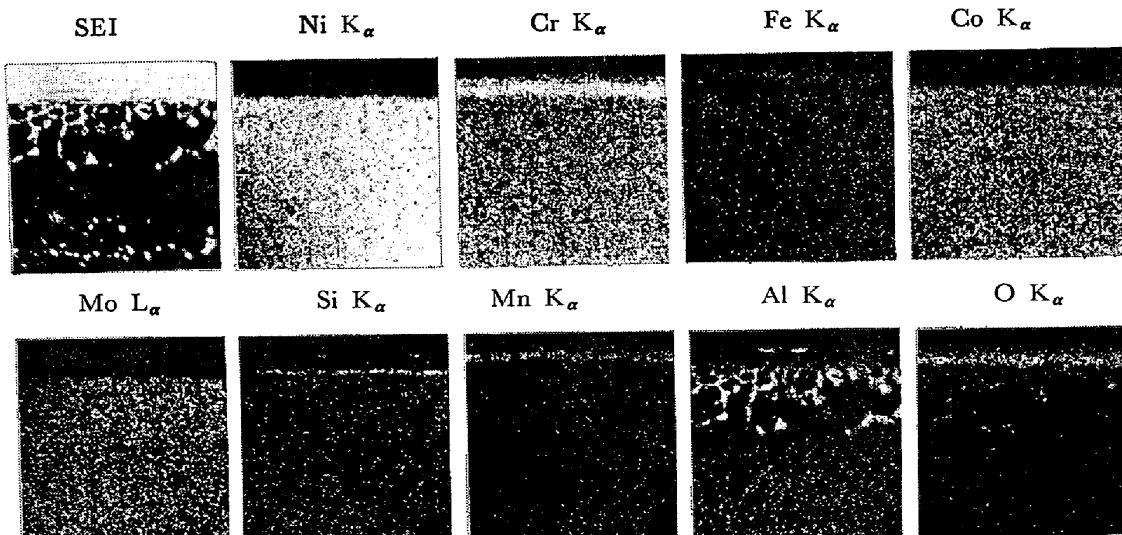


Photo. 3. Secondary electron image and characteristic X-ray images of various elements of the scale of E alloy. The specimen was exposed to 30 kg/cm^2 impure helium (B) at 1000°C for 500 hours.

中に濃縮している元素として Cr, Si, Mn, Al が、また酸化層中に濃縮していない元素として Fe, Ni, Co, Mo があげられた。この結果は R. A. U. HUDDLE¹⁾らが高温ガス炉に使用される不純ヘリウム中の酸化について熱力学的に推察した結果と一致している。また詳細に観察すると、Cr 酸化層中に存在する Si, Mn 層は断続的であつた。このことは地表面をおおつた酸化層が不均一で酸化に対して保護皮膜になりえないことを示していると考えられる。

4. 考 察

本実験で用いた耐熱合金と不純ヘリウムの組み合わせにおいては空気中に比較しへリウム中でのほうが腐食されやすい合金が多かつた。またヘリウム圧力が高いほど腐食をうけやすい合金があつた。一方表面処理することによってこの腐食は軽減された。これらの原因について考察する。

不純ヘリウム中でできる酸化膜は Si, Mn, Cr の酸化物であつた。またこのヘリウム中では酸化ポテンシャルが低いためにできた酸化膜は Photo. 3 に示したように多孔質で断続的であつた。R. K. WILD²⁾は低圧酸素域で Nimonic 80A を酸化試験し、酸素圧が低いと酸化層の密度は小さく、多孔質であることを示している。これらのことから酸化ポテンシャルの低い不純ヘリウム中では酸化膜が保護膜になりえず、この断続部を通じて拡散の速い粒界にそつて酸素が進入し、酸素と親和力の高い Al, Ti と結びつき激しい内部酸化をおこしたものと考えられる。このことから表面処理によって表面に緻密な酸化膜をつくつてやれば合金内への酸素の侵入が防げ、酸化が軽減できると考えられる。この結果は Photo. 1 に示したとおりでその効果は顕著であつた。一方内部酸化が Al, Ti などの選択酸化によっていることを考えるとカロライジングによる酸化の減少が奇異に感じられるが、著者らの得た別の結果³⁾によると Al の含有量が 2% 付近で内部酸化をもつともうけやすく、それ以上増加し約 5% になると酸化增量、内部酸化とともに軽微であつた。このことは Al 含有量が少ない場合酸化膜の主成分が Cr であつたのが、高 Al 含有では Al を主体とした酸化膜になるためであろう。

高圧下での内部酸化深さは常圧下に比較し、深くなるものと浅くなるものがあつた。CHARLOT ら⁴⁾は Hastelloy X-280 を用い、酸素分圧 $18\mu\text{ atm}$ から 1 気圧の空

気中までの範囲で実験し、酸素分圧が低い場合密着性の保護被膜が生成せず、良好な保護膜をえるには適当な酸素分圧が必要であるといつている。著者らの結果では不純ヘリウム圧の高低が合金間の腐食傾向をかえている。ヘリウム圧の高低は酸化性不純物濃度の濃淡を意味し、CHARLOT らのいう適正酸素分圧が合金の種類によってことなつてることを示唆するものと考えられる。

5. 結 論

本実験で用いた合金と不純ヘリウムの組み合わせにおいて次のことが結論できる。

- 1) 耐熱合金は不純ヘリウム中で酸化を激しくうける。これは酸化性不純分が少なく、できた酸化膜が断続的で保護膜になりえず、Cr の欠乏域が地の表面に形成されるとともに、拡散しやすい粒界にそつて酸素が進入し、Al, Ti と結びついて激しい内部酸化をおこすためである。
- 2) 不純ヘリウム中の内部酸化は地表面での脱 Cr と関連がある。また内部酸化の深さ $D(\mu)$ は合金中の Cr, Ti と関係があり、 $D = 14 \cdot 8 + 4 \cdot 72\text{Cr}(\text{wt.}\%) + 52 \cdot 5\text{Ti}(\text{wt.}\%)$ であらわすことができた。
- 3) 空気中であらかじめ酸化させたもの、カロライジング処理によって表面に Al の富化層を与えたものは未処理のものに比較し不純ヘリウム中の耐食性が改善された。
- 4) ヘリウム圧力を常圧から 30 kg/cm^2 に高めた場合、腐食されやすくなる合金と腐食されにくくなる合金とがあつた。これは酸化性不純分量と合金表面での保護皮膜生成の関係が合金の種類によってことなるためであろうと推定される。

6. 謝 辞

本実験の研究の一部を担当した室田昭治氏、多くの有益な討議をしてくれた八幡技研、ならびに基礎研究所の諸氏にあつく感謝します。

文 献

- 1) R.A.U. HUDDLE: Inst. Civil Engrs., London, 203 (1972), p. 17
- 2) R. K. WILD: Corrosion Science, 13 (1973), p. 105~112
- 3) 著者ら: 未発表
- 4) L. A. CHARLOT and R. E. WESTERMAN: Corrosion, 23 (1967), p. 50